УДК 599,15;539,388,1

### Ю А АВЕТИСЯН, В Г. ГОРБАЧ, П. Ю. ВОЛОСЕВИЧ

## СТРУКТУРНЫЕ ИЗМЕНЕНИЯ СТАЛИ Х18Н10Т ПРИ ЦИКЛИЧЕСКОМ ДЕФОРМИРОВАНИИ С ЖЕСТКИМ НАГРУЖЕНИЕМ

Повазано, то в аустепитной столи X181101 и результате инклической деформации жестели нагружением (от 0,5 до 5%) пра 20°С независимо от размера зерва происходят лианительные структурные изменения: прибличительно на лиа поридка возрастиет общая илотность дислокаций, увеличивается угом разориентировки фрагментов «ристаллической решетки в 3→4 раза, наблюдается густая сетка ливий скольжения нескольких направлений: образуется мелкояченствя структура, что приводи завиштельному упрочисния металла—твердость по ИV новышается в 2,5 раза, едиако количество образующегося мартенента деформации в мелкоэернистых образиях намного больше, чем в крушихеринстых.

На Таба, 1. Библиогр.: 4. назв.

որ առատենիաային XISHO1 — առում կուտ բեռնավորմամբ ցիկլային ռեֆորսացիաների հետևանրով (2 \s. 0.5 մինչն 5% — (.-ում., Տատիկի լագրիս տեղի են ուս նու — առուցվածրային փոփորություններ, դիայսկացնաների խառուՈյունը մեծանում է նրկա կարգով, մասնիկների և դանցի կողմնորուման անկլանը
մեծանում է 5 է անգաժ, առաջանում են տարբեր ուղղութ — առաջի գծեր և ձևավորվում է աներ բոլային կառուցվածը, որոնը բերում են ժետարի դղայի ամբաժան լկարծրուՈւունը — ուս III -ի բարձրանում է 2.5 անգամ , ռակայն առաջացած ղեֆորմացիոն ժարտենսիայ լանակը ժանրանային հետուրի նաերում ավերի չուս է, մեծա

Деформирование стальных образнов проводилось при 20 г на испытательной машине УМЭ-101 с электронным измерением и записью нагрузок и деформаций. Репленографические исследования с целью определения углов разориентировки межлу фрагментами кристалличепроводились мегодом микропучков [1] на аппарате ской решетки УРС-70 в пилипдрической микропучковой камере диаметром 40 мм в кобальтовом изучении  $\pi$  двумя диафрагмами  $d_1=2$  мл в  $d_2=$ 0,08 мм. Время экспозиции—13 и. Уширение аитерференционной лиини (211) К измерялось на горвзонтальном компараторе ИЗВ-2. Рептгенографическое исследование проводилось на дифрактометре УРС-60 на камере КРОС. Данные обрабатывались метолом математической статис эки [2] Алгоризм обработки экспериментального материала реализован на ЭВМ «Минск-22». Определение микроасхажения кристаллической решетки производилось рентгеновским методом, основанном на анализе инфины и формы рентгеновских интерферентионных жиний [3].

Образны из стали X181110Т (крупнозерпистые—d=103 мкм, HV=1060 МНа, мелкозерпистые—d=12 мкм, HV=1300 МНа) деформировали при следующих амилитудах 2  $\Delta \epsilon=0.5, 1, 2, 5\%$ . Наг

рузка, необходимая для циклической деформации при амплатуде 2 е∆ = 0.5%, оказалась несколько ниже стятического предела гекучести, а при всех остальных амплитудах пагрузки были намного пыше статического предела текучести.

Циклическая деформация с амплитудой 2 № = 0.5% даже при большом числе пиклов (N = 500) не приводит к видным металлографически структурным изменениям. Электронно-микроскопически наблюдается некоторое увеличение плотности дислокаций, образонание оборванных дислокационных грании и небольшого количества с мартенсита, а также одиночных и групповых дефектов упаковки. Апализ инкроэлектронограмм указывает на наличие в-фазы (метастабильная тексогональная фаза, инестиая как в-мартенсит). Рентгеновские исследования методом микропучков показывают, что угол разориентировки фрагментов кристаллической решетки по сравнению с исходным увеличивается незначительно (табл. 1), при аналогичном изменении твердости HV = 1510 MHa.

Габлица 1
Влияние амплитуды иклической леформации
на резориентировку крист, лической решезки
стали X181116T

Ампантуда деформация 234, О.,	твежо цикл п К	Угол разорнен- тировки ч жам
Hexo.mo	CortoRhite	28
0,5	50	14
0.5	500	31
1	50	45
1	2000	68
2	5	51
2	50	68
2	474	103
5	30	103
5	72	Сплошная лики

Исследуемая сталь X18H10T в исходном состоянии обладает средней по величине энергией дефекта упаковки  $(4-5)\cdot 10^{-6}~\text{Дас/с.е.}$ , что соответствует литературным данным для промышленных сталей этого состава при  $20^{\circ}$ С. После испытания при  $2\Delta\epsilon=0.5\%$ , N=500 циклов наблюдается некоторое синжение энергии дефектов упаковки, о чем свидетельствует увеличение величины расшепления как одиночных пислокации, так и тройных дислокационных уалов, а также образование  $\epsilon$ -фам.

При увеличении амплитуды виклической деформации, начиная с амплитуды  $2\Delta \epsilon = 1\%$ , отчетливо проявляются структурные изменения

внутренних слоев металла. Наблюдается увеличение общей плотности дислохаций и образуется яченстая структура, которая при малом числ. тиклов (5—10) выражена слабо, а при больном (2000) до вольно тчетливо (рис. 1), котя она образуется набирательно и очень перавы мерно распределяется по образцу, в связи с чем можно выделить три разновидности структуры.



Рис. 1. Яченствя структура, образовавшаяся после циклической деформации мелкозернистой сталя X181(101 при 2011—(25. 41., X=2000 пиклов), 250-0

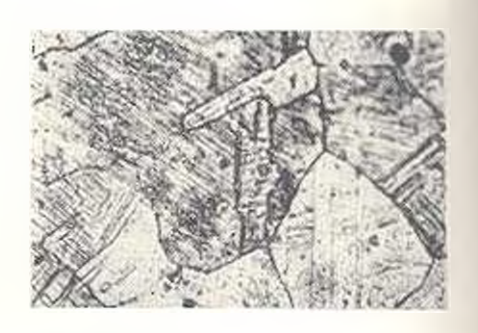


Рис. 2. Микроструктура круппозернистой стали X18Н10Т после пиклической\*деформации при 20°С (21 = 23 ... N = 1970 ппълов), 300.

В первом случае наблюдается дезначительное возрастание влотпоста заслокаций с их постепенным группированием в скопления. Во втором даучае плотвость дисложаций и количество их скоплений возрастиет, в третьем случае обнаружинаются ячейки с высокой илогност с дефектов вистри. Угол разориентировки фрасментов кристаллической решетки по сравнению с лехолным растет более чем в два раза (табл. 1). Деформационный мартенент имеет дисловационный характер д образуется в незпачительных количествах (1-2%), а твер $_{AO}$  гг. растет от HV=1300~MHa до HV=1820~MHa. При увеличения амилитуды до 2 Ле = 2%, структурные изменения в стали X18H10T становятся видимыми металлографически—уже при небольшом числе диклов (N = 5) видны следы деформании в некоторых зерна у Электроппо-микроскопические исследования показывают, что при этом в некоторых зернах образуется яченстая структура с размером вчеек от 0,8 до 2 мкм, угол разориентировки фрагментов кристаллической решетки растет почти в два раза (габл. 1). С увеличеинем писла пиклов количество зерея, в которых наблюдяются следы циклической деформации, увеличивается. К моменту разрушения крупнозериистого образца при 2 Лг = 2% и Л = 1970 инжлов наблюдаются впачительные структурные язменения.

Мета пографически видны двойники деформании, разнообразные ливии скольжения, мартенент деформации (рис. 2), количество которого составляет 12%, перавномерность леформации сохраняется, увеличивается илотность дислокаций и образуется яченетая структура с размерами ячеек от 0,5 до 1 мкм. Угол разориентировки фрагментов

кристаллической решетки увеличивается почти в 4 раза (табл 1), о чем свидетельствует увеличение азимутального размытия рефлексов на электронограммах. Твердость растет в 2,5 раза, достигая до HV = 2440~MHa.



Рис. 3. Образование дисперсиол яченстой структуры при никлической деформации крупповеднастой стали XISH10T при  $20^{\circ}\mathrm{C}$  ( $25^{\circ}-5^{\circ}-N=3$  цикла). 25000.



Гис. Образование пакетного мартенсита при виклической деферуации крупноверниетой сталь X18111ОТ рв 20 С (2M = 5°, « N = 115 пикани), 25000.

Структурные изменения слабо зависят от размера верей, но количество мартенента деформации в мелкозеринстых образаих ари разрушении а 4 раза больше (46 %) и они выдерживают в 4 раза меньше дана (N 474). по сравнению с крупноверинстыми (N = 1970). Одновременно в мелколернестых обрацах увеличивается количество двойников деформации. При дальнейшем увеличении - амилитуды деформации до  $-2 \, \Delta r = 5 \, \%$  структуриме изменения наблюдаются еще при меньшем числе диклов нагружения. При N=3 викла в отдельных зервах металлографически видвы следы скольжения, увеличивается разориентировка между фрагментами кристаллической решетки, существенно возрастает плотность дислокации, которая формирует очень мелкую структуру типа яченстой с размерами ячеек 0.5 мкм и менее (рис. 3), а твердость увеличивается более чем в 1.5 раза. С увеличением числа инклов увеличивается число верси. подвергнутых деформационным изменениям. Разориентировка фрагментов кристаллической решетки растет в 4 раза, увеличинается плот ность дислокации внутри ячеех (при  $N=72,~p=10^{10}-10^{12}~cm^{-2})$  и образуется мартенсит деформации при ( $\Lambda=35,\ \alpha=2\%$ ). Предельное число шиклов до разрыва при амплитуле  $2\,\Lambda \epsilon = 5\,\%$  для крупнозернястых образцов составляет А = 115 виклов. Внутренние слои образнов независимо от размера зерна подвержены сильным структурным изменениям: отчетливо наблюдается густая сетка линий скольжения нескольких направлений, образуется яченствя структура и виде пакстов ичеек, вытянутых в одном направлении. Во мносих аустепии ных зернах виден мартенсит деформации в виде пакетов (рис. 4), а также в-фаза. Твердость растет в 2,5 раза, доходя до /// = 255 МПа.

При этом количество мартенсита деформации при N=70 циклов в мелкозернистых образцах составляет 36%, а в крупнозернистых—4%.

Это свидетельствует о том, что границы верей, являясь местами локальной концентрации микронапряжений, при инклической деформации играют важную роль в образовании мартенсита деформации. Отметим, что описанные выше структурные изменения имеют тот же характер, что и при мягком нагружении [4]. Полученные результаты могут использоваться при прогнозировании свойств и определении режимов эксплуатации изделий из стали X18H10T, работающих в условиях циклических нагружений.

#### ЛИГЕРАТУРА

- 1. А. г. В. М.: чшая структура//УФМ,—М, Металлургизлац.—1960.—1. 283—416.
- 2 <sup>го</sup>мувала в. В. дория вероятностей и механическая статистика,— М.: Высш пікола, 1972,—185 с
- 3. Бел. Ада с. То. Рентгенография в физическом металловедении.—М., Металлур-
- 4 Аветисян Ю. А., Горбан В. Г., Волоссоич П. Ю., Мкранян О. А. Структурные наменения стали ХІВНІОТ при циклическом деформировании с мятким нагружением//Пзя. АН АрмССР. Сер. ТП. 1988—Т. XLI. № 5.--С. 11—16.

ЕрИИ им К. Маркса

20, XI, 1987

H<sub>3B.</sub> AH AµstCCP (cep. TH), r. XLH, № 5, 1989, r. 228- 233

СТРОИТЕЛЬНЫЕ КОНСТРУКЦИИ

MAIK 69.057,45

### Р. А. КОТИКЯН, К. А. СААКЯП

# ИССЛЕДОВАНИЕ ПРОГИБОВ И ТРЕЩИНОСТОИКОСТИ ЖЕЛЕЗОБЕТОННЫХ ЯДЕР ЖЕСТКОСТИ МНОГОЭТАЖНЫХ ЗДАНИЙ ПРИ МАЛОЦИКЛОВОМ НАГРЖЕНИИ

Приводятся результаты исследования прогибов в трещиностойкости желе осетовных ядер жёсткости многоэтажных зданий при малоцикловом нагружение. Эксперименты показали, что предварительное малоцикловое нагружение моделей до 60 циклов при расчетной изгрузке практически не влияет на их несущую способность, но оказывает существенное влияние на прогибе верха и шириму раскрытия трещин. С увеличением числа пиклов кривая прогибов претерпевает как качественное, так и количественное изменение. Прогиб верха увеличивиется до 30%.

Ил. 2. Табл. 2. Библиогр.: 3 назв.

Քերվում են բարձրանարկ շենցերի կոլաության միջուկների նկվածըների և մաջակայունության փորձարարական նետագոտության արդյունցները սակավացիկյային բնոնավորուն դեպրում։ Փորձերը գույց են տվել, որ ճաշվարկային բնոով սակավացիկկային բնոնավորուն մինչն 60 ցիկլ լի փոթրացնում կոշտության միջուկների րայքայող ումը նրանց ստատիկ բնոնավորումը նավորման դեպրում։ Հաշվարկային բնոով սակավացիկյային բնոնավորումը մինչն 60 ցիկլ